

論文

スラブ連鉄機における圧縮铸造時の鉄片挙動の解析

© 1985 ISIJ

大西邦彦*・長井邦雄*

An Analysis of Behavior of Slab during Compression Casting in a Continuous Casting Machine

Kunihiko ONISHI and Kunio NAGAI

Synopsis :

An analysis has been made on a compression casting method which is used to prevent internal cracks of a slab in an unbending zone of a continuous casting machine. To investigate the behavior of a slab during a compression casting, a numerical calculation method was developed. Using this method, stress and strain in a solidified shell of a slab were calculated and the followings became clear: (1) When compressive forces in the casting direction act on a slab in an unbending zone, mutual effect between unbending forces and compressive forces appears and stress and strain on an inner surface of an upper side shell change from tensile to compressive. (2) Compressive forces and temperature of a slab are found to be the primary parameters affecting the effective behavior of the compression casting. From the results of calculations, construction of the machine applying the compression casting method was also discussed about an arrangement of drive and driven rollers, devices for pressing rollers to a slab, prevention of slip between a slab and rollers and controlling method of revolution of drive and driven rollers.

1. 緒 言

最近のスラブ連鉄機では、直送圧延を目的として、高速・高温铸造が行われるが、この場合の重要な問題の一つは、曲げ戻し過程における鉄片の内部割れの発生である。この内部割れを防止するために、ロールピッチの短縮、ロール配列の高精度な保持、多点曲げ戻し、及び、二次冷却の調整などの改良が行われてきたが、さらに積極的に内部割れを防止する方法として「圧縮铸造法」が開発された。この方法の内部割れ防止に対する有効性は実機試験において確認され¹⁾、最近では、多くのスラブ用連鉄機に採用されるようになっている。

圧縮铸造法は、曲げ戻し域の上流側の駆動ロール群から鉄片に铸造方向の押し込み力が加えられ、下流側の駆動ロール群から制動力が加えられることにより、鉄片に铸造方向の圧縮力を作用させることである。この方法の効果は、定性的には、加えられた圧縮力が曲げ戻しによって発生する鉄片凝固シェル内表面の引張りひずみ（あるいは、引張応力）を圧縮状態に変化させることによって生ずると考えられている。しかし、従来、圧縮铸造時に鉄片内に発生する応力やひずみの状態に関しては簡単な検討¹⁾²⁾しか行われておらず、圧縮铸造の効果が定量的に評価されるには至っていない。

本報告では、圧縮力が加えられた状態で曲げ戻しを受ける鉄片の挙動を解析する方法が導かれ、この解析法により、圧縮铸造時の鉄片内の応力とひずみの発生状態が明らかにされ、さらに、圧縮铸造の効果と操業条件の関係が求められている。また、計算結果に基づいて、圧縮铸造を行うための機械の設計において考慮されるべき事項が示されている。

2. 解析方法

2.1 解析に用いられた仮定

鉄片が铸造方向の圧縮力を受けながら曲げ戻される場合に、鉄片の凝固シェル内に発生する応力とひずみを理論的に解析する方法を導くため、曲げ戻し域に対して、つぎの仮定が設けられた。

(1) Fig. 1 に示されるように、鉄片はロールで支持されながら、铸造方向に移動する連続梁であると仮定される。また、計算に要する時間の短縮のために、計算の対象とされる領域は、曲げ戻し域およびその前後の短い領域に限定され、計算領域外から鉄片に作用する押し込み力および制動力は計算領域の両端に、それぞれ、その合計値が与えられるものとされている。

(2) 各ロール支点位置においては、鉄片の曲率はロール配置によつて規定される曲率に等しくなると仮定さ

昭和59年11月6日受付(Received Nov. 6, 1984)

* 日立造船(株)技術研究所 (Technical Research Institute, Hitachi Zosen Corporation, 1-3-22 Sakurajima Konohana-ku Osaka 554)

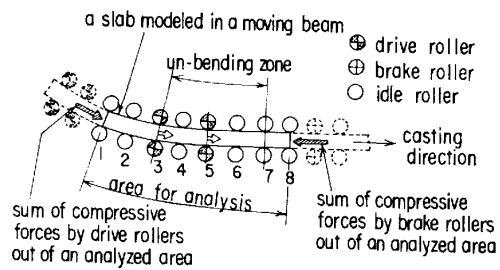


Fig. 1. Modelling of an unbending zone with compression casting.

れている。

(3) 鉄片凝固シェル部の応力とひずみは、鉄造方向の成分のみが考慮され、せん断応力とせん断ひずみは無視される。また、鉄片の断面は変形後も平面を保持する、すなわち、鉄片シェル部のひずみは上面側のシェルと下面側のシェルの両シェルにわたって、鉄片の厚み方向に直線状に分布すると仮定されている。

(4) 計算は鉄造の定常状態を対象とする。したがつて、鉄造速度、鉄片の温度分布、凝固シェル厚、及び、圧縮力は時間的に変化しないと仮定されている。

(5) 計算領域内では、鉄片シェル部の温度は幅方向および鉄造方向には一定であり、厚み方向には、外表面から内表面まで直線状に分布すると仮定されている。また、凝固シェル厚は幅方向および鉄造方向に一定であると仮定されている。

(6) 凝固シェルのバルジングひずみは無視されている。

2・2 鉄片の機械的性質

曲げ戻し域における鉄片の温度は、外表面でも 800°C 以上の高温であることから、弾性変形は低温時と同様に瞬間に増減するが、塑性変形は時間経過とともに変化するものになると考えられることから、クリープ変形と合わせられた粘塑性変形として、鉄片の構成式が設定された。

まず、弾性係数 E は Fig. 2 に示される値が設定された。この値は文献^{9)~9)}の値の平均値である。

一方、粘塑性変形の構成式として、Li¹⁰⁾が提案した式と同型の、つぎの式が適用された。

$$\dot{\epsilon} = \dot{\epsilon}_s \left(1 - \frac{\dot{\epsilon}_i - \dot{\epsilon}_s}{\dot{\epsilon}_i} \exp(-kt) \right)^{-1} \quad (1)$$

ここで、 $\dot{\epsilon}$ はひずみ速度、 $\dot{\epsilon}_i$ は負荷開始直後の初期ひずみ速度、 $\dot{\epsilon}_s$ は定常ひずみ速度、 k は転位密度の変化速度、 t は負荷開始からの経過時間である。

(1) 式が応力一定の条件下で時間 t で積分されると、次式となる。

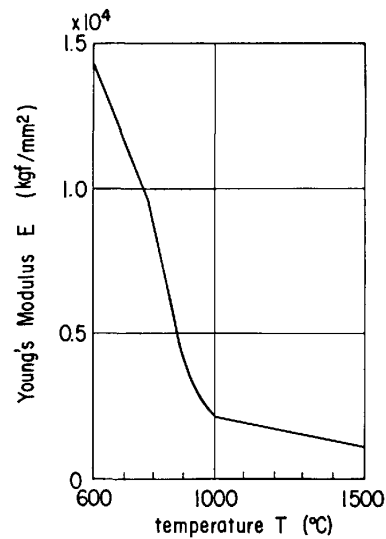


Fig. 2. Young's Modulus of a slab material.

$$\epsilon = \epsilon_e + \epsilon_{vp} = \frac{\sigma}{E} + \dot{\epsilon}_s t + \frac{\dot{\epsilon}_s}{k}$$

$$\cdot \ln \{ f - (f-1) \exp(-kt) \} \quad \dots \dots \dots \quad (2)$$

ここで、 ϵ_e は負荷時に瞬間に発生する弾性ひずみ、 σ は応力、 ϵ_{vp} は粘塑性ひずみである。また、 f は定常ひずみ速度に対する初期ひずみ速度の比、 $\dot{\epsilon}_i/\dot{\epsilon}_s$ である。なお、 $\dot{\epsilon}_s$ にはつぎの式が適用された。

$$\dot{\epsilon}_s = a_s \exp \left[\frac{-Q_s}{R(T+273)} \right] \sigma^{m_s} \quad \dots \dots \dots \quad (3)$$

ここで、 a_s は速度定数、 Q_s は活性化エネルギー、 R はガス定数 (1.98×10^{-3} kcal/mol °C)、 T は温度 (°C)、 m_s は応力指数である。

また、 k には、(3)式と同型の、つぎの式が適用された。

$$k = a_k \exp \left[\frac{-Q_k}{R(T+273)} \right] \sigma^{m_k} \quad \dots \dots \dots \quad (4)$$

ここで、 a_k は速度定数、 Q_k は活性化エネルギー、 m_k は応力指数である。低炭素鋼 (C%0.21) に対して(2)、(3)、(4)式に現れる材料定数の値は、一定応力下での引張試験 ($\sigma=0.5 \sim 1.5$ kgf/mm²、 $T=1100 \sim 1450$ °C、 $\epsilon=0 \sim 5\%$ 、 $\dot{\epsilon}=10^{-2} \sim 10^{-5}$ 1/s) によって測定された時間とひずみの関係から、最小二乗法により決定された。Table 1 はその値を示す。1450°C から凝固点までの温

Table 1. Material constants of a slab.

a_s	1.60×10^{12}	$(\text{kgf/mm}^2)^{-m_s} \cdot s$
Q_s	109	kcal/mol
m_s	5.07	
f	10	
a_k	1.49×10^{11}	$(\text{kgf/mm}^2)^{-m_k} \cdot s$
Q_k	88.1	kcal/mol
m_k	5.02	

度域でも、同じ定数値が適用されている。

なお、(2)式は応力が変化しない場合にのみ成立するが、応力が変化する場合には、ORNLが提案した方法¹¹⁾により、(1)、(2)式から、つぎの式が導かれる。

$$\dot{\epsilon} = \Delta \dot{\epsilon}_{vp} = \dot{\epsilon}_s \left\{ 1 + (f-1) \exp \left[-\frac{k}{\dot{\epsilon}_s} \Delta \epsilon_{vp} \right] \right\} \quad (5)$$

ここで、 $\Delta \epsilon_{vp}$ は、その時間までに到達した最大の粘塑性ひずみ（引張りの最大ひずみが ϵ_{vp}^+ 、圧縮の最大ひずみが ϵ_{vp}^- とされる）からの、 ϵ_{vp} の変化量で、次式で定義される。

$$\Delta \epsilon_{vp} = \begin{cases} \epsilon_{vp} - \epsilon_{vp}^- : \sigma \geq 0 \text{ の場合} \\ \epsilon_{vp} - \epsilon_{vp}^+ : \sigma < 0 \text{ の場合} \end{cases} \quad (6)$$

2.3 基礎式

铸片シェル内の任意の点の矯正ひずみは、その点の铸片厚みの中央面からの距離 $\pm\eta$ 、铸片の曲率（中央面の曲率） ρ 、及び、铸片の曲がりの上面側外表面と下面側外表面のひずみ、 ϵ_u 、 ϵ_l により、次式で与えられる。

$$\epsilon = \frac{\epsilon_u + \epsilon_l}{2} \pm \rho\eta \quad (7)$$

また、(2)、(5)、(6)、(7)式から、応力に関するつぎの微分方程式が導かれる。

$$\dot{\sigma} = E \left(\frac{\dot{\epsilon}_u + \dot{\epsilon}_l}{2} \pm \dot{\rho}\eta \right) - E\dot{\epsilon}_s \left\{ 1 + (f-1) \exp \left[-\frac{k}{\dot{\epsilon}_s} \left(\epsilon - \frac{\sigma}{E} - \epsilon_{vp}^+ \right) \right] \right\} \quad (8)$$

一方、铸片断面全体の内力の合計と外力のつりあいから、铸片に作用する曲げモーメント M および圧縮力 P と铸片シェル内の応力には、つぎの関係が成立する。

$$M = \int_A \sigma \eta dA \quad (9), \quad P = \int_A \sigma dA \quad (10)$$

ここで、 A は凝固シェル部の断面積である。

また、矯正によって铸片に作用する力はロール反力のみであることから、矯正曲げモーメントはロールスパン内で铸造方向に直線状分布であることから、つぎの関係が成立する。

$$M = M_0 + \dot{M}(t - t_0) \quad (11)$$

ここで、 M_0 はスパン入口での曲げモーメント、 \dot{M} は曲げモーメントの変化速度、 t_0 はスパン入口における負荷開始からの経過時間である。

さらに、仮定(2)から、境界条件として、次式が満足されねばならない。

$$\rho_I = \rho_{roll,I} (I=1 \sim N) \quad (12)$$

ここで、 I は支点番号、 ρ_{roll} はロール配置によつて規定される曲率、 N は支点総数である。

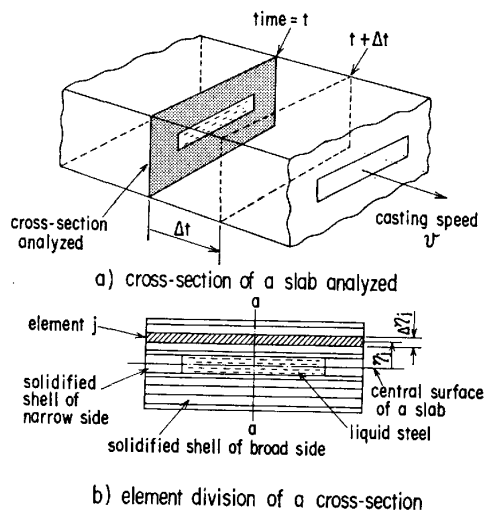


Fig. 3. Cross-section of a slab for an analysis and element division.

2.4 数値計算法

Fig. 3 の(a)に示されるように、铸片の一つの断面が計算の対象とされ、この断面が一定速度 v で計算領域内を移動するあいだの挙動が、微少時間増分 Δt ごとに解析される。また、スラブ铸片においては、厚さに比べて幅が非常に大きいことから、Fig. 3 の(b)に示されるように、長辺シェルのa-a部が解析の対象とされ、数値計算のために、厚み方向に要素分割される。

微少時間内では、ひずみ速度 $(\dot{\rho})$ と $(\dot{\epsilon}_u + \dot{\epsilon}_l)/2$ が一定と見なされることから、 Δt 時間後の j 要素のひずみ、 $\epsilon_j^{t+\Delta t}$ は(7)式の前進差分化により、次式で与えられる。

$$\epsilon_j^{t+\Delta t} = (\rho^t + \dot{\rho}\Delta t)\eta_j + \frac{\dot{\epsilon}_u^t + \dot{\epsilon}_l^t}{2} + \frac{\dot{\epsilon}_u^t + \dot{\epsilon}_l^t}{2} \Delta t \quad (13)$$

一方、(8)式の微分方程式がRUNGE-KUTTA-GILL法によつて解かれ、 Δt 時間後の応力が求められる。また、(9)～(11)式はつぎのように差分化される。

$$M = B \sum_{j=1}^{N_e} \sigma_j \eta_j \Delta \eta_j \quad (14)$$

$$P = B \sum_{j=1}^{N_e} \sigma_j \Delta \eta_j \quad (15)$$

$$M^{t+\Delta t} = M^t + \dot{M} \Delta t \quad (16)$$

ここで、 B は铸片幅、 N_e は分割要素の総数、 $\Delta \eta_j$ は j 要素の分割寸法である。

数値計算には、(13)～(16)式が用いられ、Fig. 4に示される流れで行われる。

3. 解析結果

二種の曲げ戻し型式について、前節に示された数値計

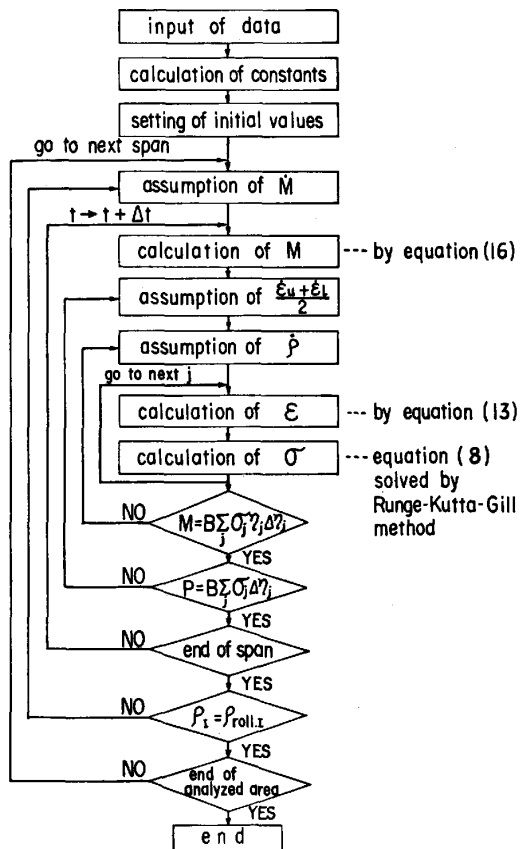


Fig. 4. Flow of numerical calculation of compression casting.

算法により、圧縮鉄造時の鉄片の挙動が解析され、圧縮鉄造の特性とその効果が理論的に明らかにされ、また、圧縮力の大きさおよび操業条件と圧縮鉄造の効果との関係が求められた。

3.1 圧縮力の付加による鉄片シェル内の応力とひずみの変化

機械半径 10.5m の 1 点曲げ戻し型式の湾曲型連鉄機の曲げ戻し域について、厚さ 250 mm、凝固シェル厚 83 mm の鉄片が通常の曲げ戻しを受ける場合と、この鉄片に約 150 tf の圧縮力が加えられる場合の挙動が解析され、両者が比較された。Fig. 5 は計算領域とそのローラ配置、及び、鉄片の状態などの計算条件を示し、Fig. 6～Fig. 8 は得られた結果を示す。

まず、Fig. 6 は鉄片の内外表面のひずみの変化状態を示すが、圧縮力が付加されることにより、曲げ戻し域において鉄片全体のひずみが圧縮側に大きく移行し、通常の曲げ戻しの場合には曲げの上面側内表面（以下、上側内面とよぶ）にかなり大きな引張りひずみが発生するのに対して、圧縮鉄造時には上側内面のひずみが圧縮に変化することが示されている。Fig. 7 は鉄片の内外表面の応力の変化状態を示すが、ひずみの変化と同様に、

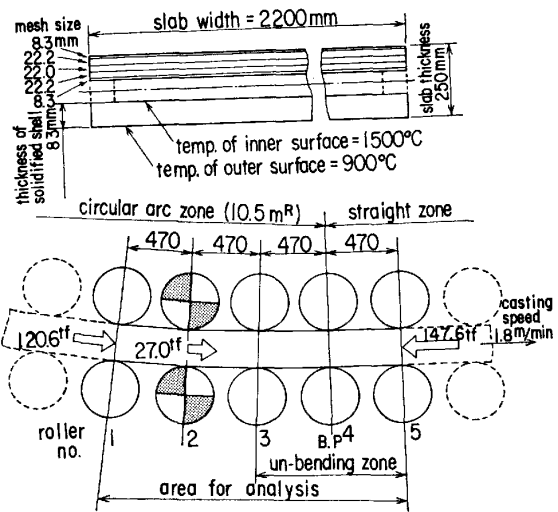


Fig. 5. One point unbending zone for an analysis of behavior of a slab.

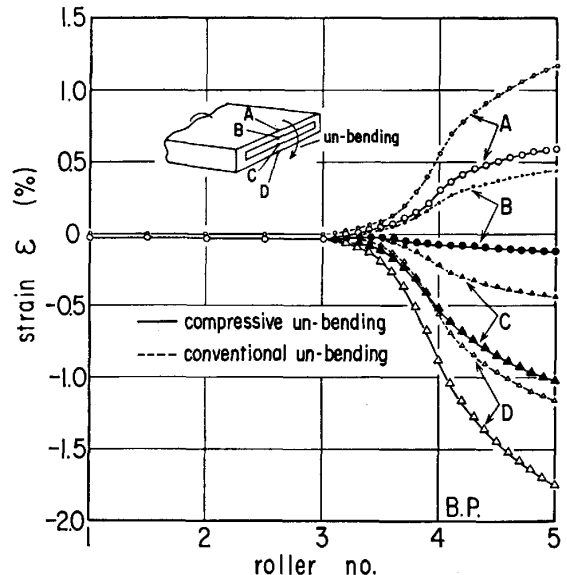


Fig. 6. Strains in a slab in one-point unbending zone.

圧縮力の付加により上側内面の応力が引張りから圧縮に変化している。しかし、上側内面の応力の変化状態はかなり複雑で、ひずみが圧縮の部分でも引張りの応力が発生する場合のあることが示されている。Fig. 8 は曲げ戻し完了位置における鉄片厚さ方向のひずみ分布、及び、そのひずみの弾性成分（応力に対応）と粘塑性成分の割合を示すが、圧縮力の付加により、上側内面のひずみが、引張りから圧縮に変化し、圧縮鉄造の効果が生じていることがわかる。また、シェル内表面の弾性ひずみ、すなわち、応力は非常に小さい。さらに、圧縮力の付加により、曲げ戻し力と圧縮力の相乗効果が生じ、下側のシェル内の粘塑性ひずみが著しく大きくなることが

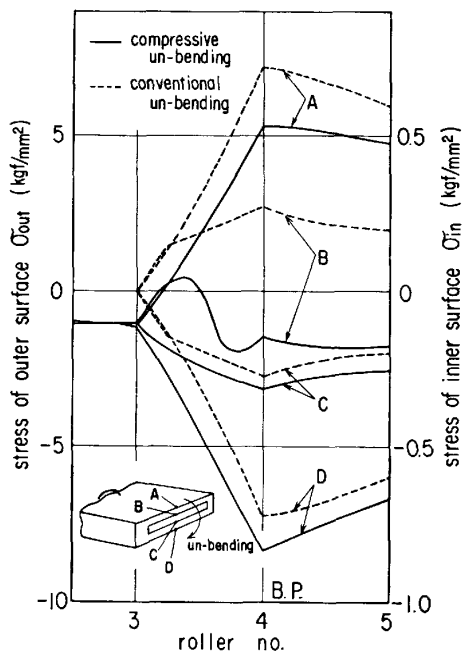


Fig. 7. Stresses in a slab in one point unbending zone.

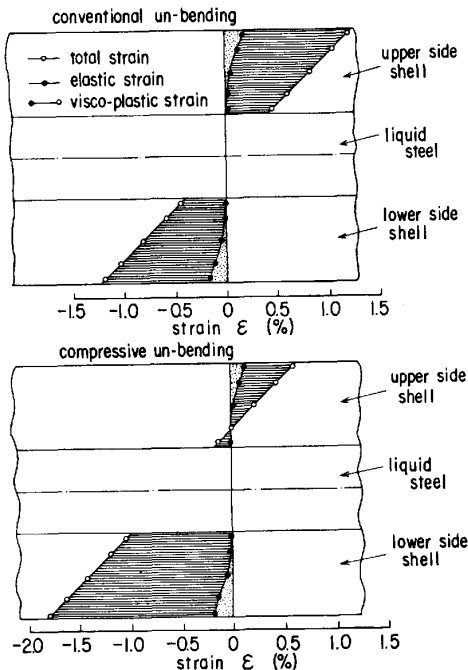


Fig. 8. Strain distribution in a slab at the exit of one point unbending zone.

示されている。なお、通常の曲げ戻しの場合と圧縮铸造の場合の、铸片に作用する曲げモーメントの大きさは、本計算では、その最大値が、それぞれ、 $7.4 \times 10^7 \text{ kgf-mm}$, $7.0 \times 10^7 \text{ kgf-mm}$ であり、圧縮铸造の場合の方が曲げモーメントが小さく、上述の相乗効果により、铸片が曲がりやすくなっていることがわかつた。

3.2 圧縮铸造の効果に及ぼす各種因子の影響

垂直曲げ型連铸機（機械半径 8m, 2点曲げ戻し型式、

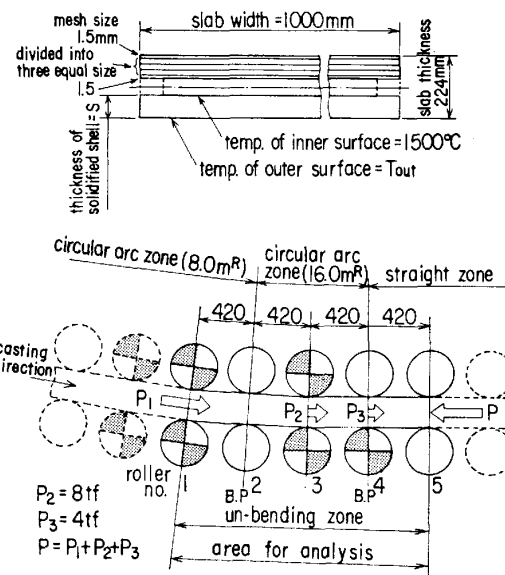


Fig. 9. Two points unbending zone for an analysis of behavior of a slab.

Table 2. Conditions of calculations for the analysis of influences of casting parameters on the effect of compression casting.

	v (m/min)	T_{out} (°C)	S (mm)	P/B (kgf/mm)	the variable changed
A	1.4	965	90	52	standard condition
B	1.4	965	90	0	compressive force
C	1.4	965	90	32	
D	1.4	965	90	72	
E	0.02	965	90	52	casting speed
F	0.2	965	90	52	
G	0.8	965	90	52	
H	1.8	965	90	52	
I	2.4	965	90	52	
J	1.4	800	90	52	temp. of slab
K	1.4	1100	90	52	
L	1.4	965	81	52	thickness of shell
M	1.4	965	99	52	

铸片厚さ 224 mm) の曲げ戻し域について、铸片の内部割れを防止するために必要な圧縮力の大きさ、を求め、また、铸造速度や铸片温度などの操業条件が圧縮铸造の効果に及ぼす影響を明らかにするため、数値計算が行われた。Fig. 9 は解析された連铸機のロール配置と計算条件を示し、Table 2 は検討された変数の組み合わせを示す。この表の T_{out} は铸片の外表面温度である。なお、実操業においては、凝固シェル厚と铸片温度は铸造速度と密接な関係があるが、ここでは、それぞれの変数の影響度を明らかにするため、これらの変数は独立に取り扱われた。

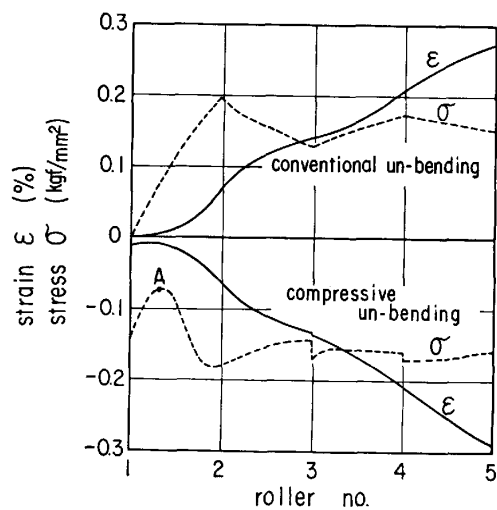


Fig. 10. Typical pattern of the variation of stress and strain in a slab in two points unbending zone.

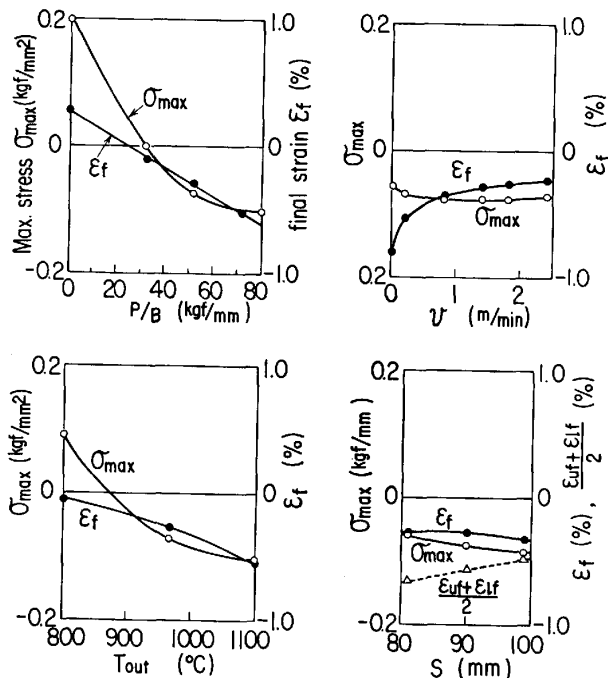


Fig. 11. Influences of casting parameters on the effect of compression casting.

Fig. 10 は標準条件（ケース A）における鉄片の上側内面の応力とひずみの変化状態を、通常の曲げ戻しの場合と比較して示す。他の条件の計算の結果も、応力とひずみの変化の様式はほぼ同じであり、応力変化には A 点のような極大値が現れている。この一連の計算結果から、上側内面の応力およびひずみと各変数の間には Fig. 11 に示される関係が得られた。なお、Fig. 11 に示された応力とひずみは、それぞれ、最大応力（全体が圧縮応力の場合は、最も零に近い応力） σ_{max} 及び、曲げ戻し完了位置でのひずみ ϵ_f である。また、シェル厚 S の影響を示したグラフには、曲げ戻し完了位置での鉄片の

上下両表面のひずみの平均値 $(\epsilon_{uf} + \epsilon_{ef})/2$ の値も示されている。

この結果には、圧縮鉄造の効果に及ぼす各種因子の影響に関して、つぎの特性が示されている。

(1) 鉄片に加えられる圧縮力が大きくなるほど上側内面の応力とひずみの圧縮側への移行量が大となり、圧縮力が十分に大きく（本例では、鉄片の単位幅当たり、約 30 kgf/mm 以上）なると、応力とひずみが完全に圧縮になる。

(2) 鋳造速度が大になると、ひずみの圧縮側への移行量が減少するが、鋳造速度が 1 m/min を超えると鋳造速度の影響はほとんどなくなる。一方、最大応力値は鋳造速度の影響をほとんど受けない。

(3) 鉄片の温度は応力とひずみに大きな影響を及ぼし、鉄片が低温（本例では、外表面温度が約 850°C 以下）になると上側内面には引張りの応力が発生する。

(4) 凝固シェル厚が大きくなるほど応力とひずみは、より圧縮側に移行する傾向があるが、これは上側内面と鉄片の中央面との距離が減少するためであり、圧縮力の効果は、上下両表面のひずみの平均値の変化に示されるように、シェル厚が大きくなるほど少なくなる。なお、本例のように、±10 mm 程度のシェル厚の変化は圧縮鉄造の効果に顕著な影響は及ぼさない。

4. 考 察

圧縮鉄造用の装置の設計において考慮されるべき事項は、前節の解析結果から、つぎのように考えられる。

(1) 所要圧縮力の決定基準

鉄片の内部割れを防止するために必要な圧縮力の大きさの決定基準として、応力値あるいはひずみ値が考えられる。しかし、計算結果に示されたように、鉄片の内表面に発生する応力は非常に小さく、また、内表面は融点に近い温度であるため、応力の大きさを支配する材料定数が正確に把握されないことから、応力値の精度は非常に悪く、ひずみの大きさが基準にされるべきであると考えられる。

(2) 駆動ロールと制動ロールの配置法

駆動ロールと制動ロールによって発生する圧縮力の大きさは、ロールの鉄片への圧下力に鉄片とロール間の摩擦係数を乗じたものとなる。しかし、圧下力が過大になると鉄片シェル内に圧下き裂が発生する。とくに、未凝固状態の鉄片に対する圧下力はバルシング力よりわずかに大きい程度に制限されるべきである。したがって、1 本の駆動・制動ロールが発生し得る圧縮力は小さく、所要の圧縮力が得られるためには多くの駆動ロールと制動

ロールが設置されねばならない。例えば、Fig. 9 に示された連鉄機では、曲げ戻し域の1本のロールに作用するバルジング力は、鉄片の単位幅当たり、約 23 kgf/mm であり、鉄片とロール間の摩擦係数が 0.3 の場合、1本の駆動ロールが出し得る圧縮力は約 7 kgf/mm であり、前節で求められた必要圧縮力 30 kgf/mm を得るためにには 5 本の駆動ロールと 5 本の制動ロールが必要になる。さらに、鉄片のバルジング変形が鉄片の移動に対して抵抗となるため、この抵抗に打ち勝つために、より多くの駆動ロールが必要で、また、それらはロール群内の広い範囲に分散して配置されねばならない。

(3) 駆動・制動ロール、および、そのセグメントの構造

ロールによる鉄片の過圧下を防止するためには、上下ロールの間隔が鉄片の厚さよりわずかに小さい程度に保たれるべきであり、このためには、上下フレーム間へのスペーサの挿入、あるいは、上下ロール間隔の自動制御などが必要となる。一方、駆動・制動ロールにより確実に圧縮力が発生するためには、鉄片とロール間のすべりが防止されねばならない。すべりを生じさせる原因の一つは、ロールの永久曲がり変形であり、この曲がりを防止するためには、曲げ戻し時に鉄片からロールに作用する力(矯正反力)¹²⁾¹³⁾、及び、ロールが受ける熱的負荷¹⁴⁾が小さくなるようなフレームおよびロールの構造が選定され、かつ、ロールの強度向上が図られねばならない。すべりを生じさせるもう一つの原因是、駆動ロールと制動ロールの回転むらである。しかし、計算結果に示されたように、圧縮力によって鉄片に発生するひずみの両外表面の平均値は約 0.5% であり、駆動ロールと制動ロールの速度差が、十分な精度で、この値に制御されること是不可能である。したがって、ロールの回転の制御は、速度よりもトルクによって行われるべきである。

なお、本報告では、鉄片の上側内面のみについて圧縮铸造の効果が論じられたが、圧縮铸造は鉄片の上側外表面の引張応力の減少にも有効であることが、前節の計算結果に示されている。

5. 結 言

スラブ連鉄機における圧縮铸造法に関して、鉄片の挙動を定量的に求めるための数値解析法が導かれた。また、この解析法により、二種の連鉄機について、鉄片のシェル部に発生する応力とひずみが計算され、つぎの事項が明らかになつた。

(1) 曲げ戻し域で鉄片に铸造方向の圧縮力が加えられると、曲げ戻し力と圧縮力の相乗効果が生じ、鉄片の

曲げの上面側内表面の応力とひずみが通常の曲げ戻しにおける引張りの状態から圧縮の状態に変化し、内部割れの防止に対する効果が生ずる。

(2) 各種の操業因子のなかで、圧縮铸造の効果に大きな影響を及ぼすものは、圧縮力の大きさと鉄片の温度であり、シェル厚が 90 mm の鉄片では、外表面温度が 965°C の場合、鉄片の単位幅当たり、30 kgf/mm 以上の圧縮力が必要で、鉄片温度が低くなるとさらに大きな圧縮力が必要となる。

さらに、圧縮铸造用の機械構造に関して、計算結果から、つぎの事項が明らかになつた。すなわち、圧縮铸造が効果的に行われるためには、複数個の駆動・制動ロールが広い範囲に分散して配置されるとともに、ロールの変形が少ないロール・フレームの構造、及び、トルクによる回転制御が適用されることにより、鉄片とロール間のすべりが防止されねばならない。また、鉄片の過圧下を防止できるセグメント構造が必要である。

最後に、本報告では、理論解析のみによつて圧縮铸造の特性が検討されたが、この解析結果が実操業結果と対比されることにより、圧縮铸造の特性がさらに詳細に解明されることが望まれる。

記 号

A : 鉄片凝固シェル部の断面積	[mm ²]
a : 速度定数	[kgf/mm ²] ^{-m/s}
B : 鉄片幅	[mm]
E : 弹性係数	[kgf/mm ²]
f : 定常ひずみ速度に対する初期ひずみ速度の比	[—]
k : 転位密度の変化速度	[1/s]
M : 曲げモーメント	[kgf·mm]
m : 応力指数	[—]
N : 支点総数	[—]
N_e : 分割要素の総数	[—]
P : 鑄造方向の圧縮力	[kgf]
Q : 活性化エネルギー	[kcal/mol]
R : ガス定数	[kcal/mol·°C]
S : 凝固シェル厚	[mm]
T : 温度	[°C]
T_{out} : 鉄片の外表面温度	[°C]
t : 負荷開始からの経過時間	[s]
v : 鑄造速度	[m/min]
ϵ : ひずみ	[—]
ϵ_e : 弹性ひずみ	[—]
ϵ_f : 曲げ戻し完了位置の鉄片上面側内表面のひずみ	[—]
ϵ_i : 初期ひずみ	[—]
ϵ_l : 鉄片下面側外表面のひずみ	[—]
ϵ_{lf} : 曲げ戻し完了位置の鉄片下面側外表面のひずみ	[—]
ϵ_u : 鉄片上面側外表面のひずみ	[—]
ϵ_{uf} : 曲げ戻し完了位置の鉄片上面側外表面のひずみ	[—]
ϵ_{vp} : 粘塑性ひずみ	[—]

ε_{vp}^+	: 粘塑性ひずみの引張り側最大到達量	[-]
ε_{vp}^-	: 粘塑性ひずみの圧縮側最大到達量	[-]
η	: 鉄片厚さの中央面からの距離	[mm]
ρ	: 鉄片の曲率	[1 / mm]
ρ_{roll}	: ロール配置の曲率	[1 / mm]
σ	: 応力	[kgf / mm ²]
σ_{max}	: 鉄片上面側内表面の最大到達応力	[kgf / mm ²]

添字(下つき)

 I : 支点番号 j : 分割要素番号 k : 転位密度の変化速度に関する値を示す o : ロールスパン入口での値を示す s : 粘塑性の定常ひずみに関する値を示す

添字(上つき)

 t : 時刻を示す

・ : 変化速度を示す

その他

 Δ : 増分を表す

文 献

- 1) 山内信一, 打田安成, 山本利樹, 三隅秀幸: 製鉄研究 (1978) 294, p. 62
 2) H. KODAMA, E. NIYAMA, M. ENDO and T.

- NISHINO: Trans. ISIJ, 24 (1984), p. 396
 3) 水上秀昭, 村上勝彦, 宮下芳雄: 鉄と鋼, 63 (1977), S 562
 4) 日本機械学会: 金属材料の弾性係数に関する資料調査分科会報告書(低炭素鋼編) (1965)
 5) ASTM: Elevated Temperature Properties of Carbon Steel (1955), p. 2
 6) 木下勝雄, 河西悟郎, 江見俊彦: 鉄と鋼, 62 (1976), S 505
 7) 木下勝雄, 河西悟郎, 江見俊彦, 笠井 学: 鉄と鋼, 62 (1976), S 509
 8) 作井誠太, 酒井 拓: 鉄と鋼, 63 (1977), p. 285
 9) 酒井 拓, 大橋正幸, 香西雅文, 作井誠太: 鉄と鋼, 63 (1977), p. 1556
 10) J. C. M. Li: Acta Metall., 11 (1963), p. 1269
 11) C. E. PUGH: ORNL-TM 3602 (1972)
 12) 大西邦彦, 長井邦雄, 若林 勝: 鉄と鋼, 67 (1981), p. 122
 13) 奥村治彦, 大西邦彦: 鉄と鋼, 70 (1984), p. 201
 14) 長井邦雄, 大西邦彦, 清水 勇, 中道弘志, 寺田耕輔: 日立造船技報, 43 (1982), p. 72